一臨床応用—

深吸気停止収集法 (BrST) の心筋血流 SPECT への応用

本南 眞治¹⁾ 熊井 由昌²⁾ 林 万寿夫²⁾ 堀内 承治³⁾ ¹⁾淀川キリスト教病院 放射線課 ²⁾大阪医科大学附属病院 中央放射線部 ³⁾大阪市立総合医療センター 中央放射線部

Application of the Deep Breath-hold acquisition method (BrST) to myocardial perfusion SPECT

Shinji Kinami¹⁾, Yoshiaki Kumai²⁾,
Masuo Hayashi²⁾, Syoji Horiuchii³⁾

Department of Radiology Yodogawa Christian Hospital

Department of Clinical Radiology Osaka Medical College Hospital

Central Radiology Department Osaka City General Hospital

(article recieved:

Quantification (2014)

Key Words: myocardial perfusion scintigraphy, SPECT, BrST, breath hold, artifact

1 緒言

Single Photon Emission Computed Tomography (以下:SPECT)を用いた安静心筋血流シンチグ ラフィ(以下:心筋血流 SPECT) において、心 筋の拍動に関しては Gated SPECT 法が開発され 一般的に使用されている。一方、呼吸による横隔 膜や腹部臓器の移動(以下:呼吸運動)に関して は、収集時間が10~30分と長時間に及ぶため、通 常は安静呼吸状態で収集されているのが現状であ る。しかし心臓は、横隔膜を挟んで肝臓などの腹 部臓器に接しているため、呼吸運動がモーション アーチファクトの原因となる場合がある¹⁾。ま た. 心筋血流 SPECT の再構成時の左心室に対す る肝臓からの影響として、肝内胆管の高集積によ るストリークアーチファクトや肝臓による減弱の ためアンダーシュートなどを生じさせる場合があ る¹⁾。以上のような理由から、呼吸を制御した状 態での撮像の必要性が考えられた。呼吸を深吸気 で停止した状態で SPECT の撮像を可能にした Deep Breath hold SPECT 法 (以下: BrST 法) は,

腫瘍核医学領域や呼吸器核医学領域において横隔膜近傍での有用性が報告されている²⁻⁴⁾。今回,我々は心筋血流 SPECT において BrST 法により画像が改善するかを,通常呼吸状態で収集した方法 (Free Breathing 以下: FB 法)と BrST 法により臨床例で比較し有用性について検討を行った。

2 方法

2-1 使用機器

ガンマカメラは e.cam duet (東芝メディカルシステムズ 社製), データ処理装置は GMS-5500A/PI (東芝メディカルシステムズ社製) である。

2-2 対象

対象は、2003年 1 月より2006年 8 月までの間に行った虚血性心疾患(67例)、労作性狭心症(5 例)および陳旧性心筋梗塞などその他(9 例)で 201 TICI による安静心筋血流 SPECT を依頼された患者81名中、BrST 法を施行し得た70名(男:女=47名:23名)、平均年齢64.4歳(男:女=66.2歳:61.0歳)である。除外した11症例中、後

述する息止め練習時に BrST 法不可能と判断した 症例は 6 例, BrST 法施行中に中止した症例は 5 例であった。撮像はすべての患者に対して,収集 中いつでも BrST 法での収集を中止し通常方法で の検査を行えること,および BrST 法に同意しな かった場合や途中で通常方法に変更した場合でも 診療上の対応等に影響がないことを十分に説明し 同意を得て実施した。なお本研究は,実施当時の 倫理規程に従って行った。また個人情報保護に関 して,画像出力時には個人情報が含まれないよう に配慮した。

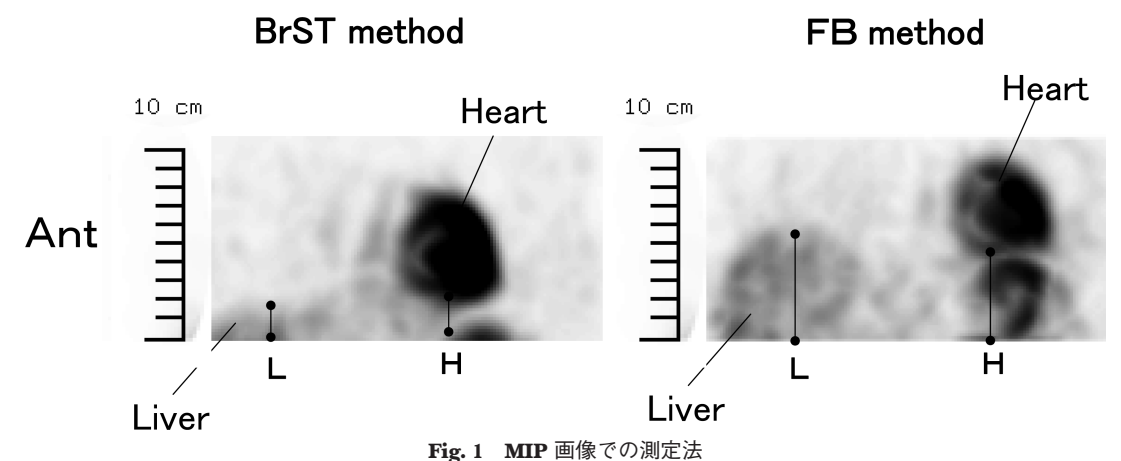
2-3 検査方法

撮像は ²⁰¹TICl 111 MBq を静脈投与後15分から 開始した。収集開始までの時間を利用して、対象 患者に対して3~6回の息止め練習を行った。撮 像時の収集条件は、LEHR コリメータを装着し た2検出器対向で、収集モードは step and shoot による360度収集,収集角度は3度 step, 1方向 あたりの収集時間は15秒/step, 拡大率1.23倍, マ トリックスサイズ128 (1 pixel = $3.9 \, \text{mm}$), エネ ルギーウインドウは 70 keV ± 10% であり、減弱 補正および散乱補正は行わなかった。奇数番目の ステップを深吸気停止、偶数番目のステップを通 常呼吸で収集を行い、全120フレームの画像のう ち奇数フレームを BrST 法、偶数フレームを FB 法の画像とした2~4)。収集時、検査担当者は患者 のベッドサイドにて決められた手順で息止めの指 示を行った。1検査あたりの収集時間は、カメラ の移動時間を含め約20分であった。収集後、処理 装置にて、深吸気停止相と通常呼吸相のプロジェクションデータの分離を行った $^{3)}$ 。各プロジェクションデータに対して、前処理フィルタにButterworth filter(遮断周波数:0.42 cycles/cm、次数:8)、再構成フィルタに ramp filter を用いて FBP 法 (filtered back projection method) により再構成を行った。なお、今回の検討に用いた収集条件でのプロジェクションデータにおける心筋に対する左前斜位45度からのカウントは、対象70症例で 1 ピクセルあたり平均 20.44 ± 5.23 カウントであった。

2-4 検討項目

2-4-1 変化量比較

変化量の測定方法は、再構成を行った横断像よ り Maximum Intensity Projection (以下: MIP) 画 像を作成し、前面方向の MIP 画像を用いて、 BrST 法と FB 法それぞれの心筋と肝臓の高さを 次の方法で測定した。画面に表示された FB 法, BrST 法それぞれの画面上の MIP 画像の下辺よ り,心臓下端への距離(以下:H),肝臓上端へ の距離(以下:L)(Fig.1)とした。なお,同一 患者において FB 法および BrST 法は、一連の収 集で行われるため、両方法において MIP 画像の 視野の下辺は変化しない。計測されたLからHを 差分し心肝差分量(以下:L-H)を求めた。更に, FB 法および BrST 法での L-H (以下:FB(L-H) および BrST(L-H)) を差分して心肝差分変化量 (mm) = FB(L-H) - BrST(L-H) を求めた。なお、 移動量の評価においては SPECT の分解能を考慮



画像の下端から肝臓上部までの距離を(L)と心筋下端までの距離を(H)と定義する。

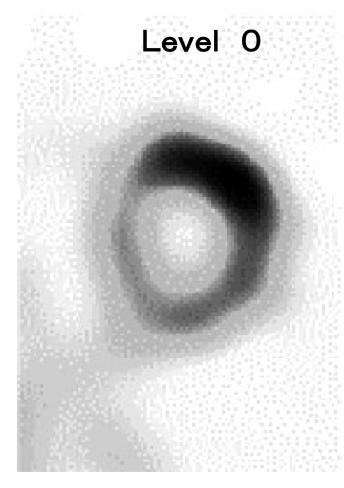






Fig. 2 症例における Level 分類法 SA 再構成画像視野内に,他臓器の集積が存在しない場合を Level 0,他臓器の集積が心筋周辺にある場合を Level 1.他臓器が心筋と明らかに近接している場合を Level 2とした。

して 5 mm 間隔とした。FB(L-H) と BrST(L-H) に対して両側の対応のある paired-t test を用い、P<0.01 を統計的有意差ありとして,有意差検定を行った。

2-4-2 心筋と他臓器の近接の程度の比較

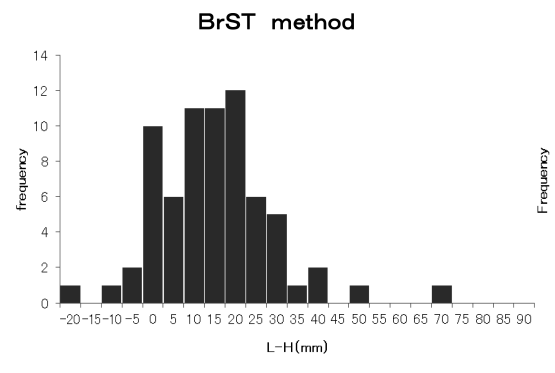
SPECT 再構成画像の short axis (以下:SA) 画像を用い、同一症例の FB 法および BrST 法の画像をモニター上に並べて表示し、心基部から心尖部へスクロールさせながら近接の程度を視覚的に分類した。判断基準は SA 再構成画像視野内に、他臓器の集積が存在しない場合を Level 0、他臓器の集積が心筋周辺に存在する場合を Level 1、他臓器が心筋と明らかに近接している場合を

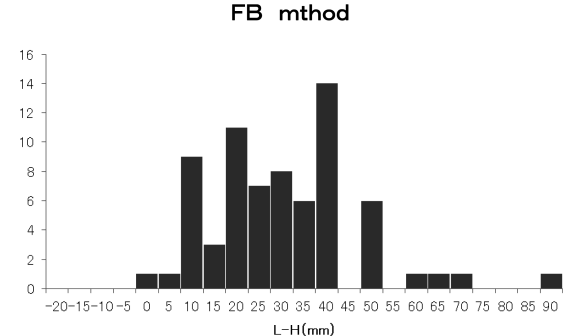
Level 2 とした (**Fig. 2**)。

3 結果

3-1 変化量比較

FB(L-H) および BrST(L-H) それぞれの計測値 (平均値 ± 標準偏差) のヒストグラムを Fig. 3 に示す。縦軸は頻度, 横軸は心肝差分量を表す。 FB 法で 30.4 ± 16.3 mm, BrST 法で14.9 ± 14.1 mm を示し, 両群間には統計学的な有意差 (P < 0.01) が認められた。心肝差分変化量の結果を Fig. 4 に示す。縦軸は頻度, 横軸は心肝差分変化量を表す。心肝差分変化量の平均値と標準偏差が 15.5 ± 11.4 mm (中央値 15.0 mm) で、ヒストグ





 $Ave \pm SD = 14.9 \pm 14.1 \text{ mm}$

Ave ± SD = 30.4 ± 16.3 mm

Fig. 3 BrST 法と FB 法における L-H の分布 BrST 法 (14.9±14.1 mm) と FB 法 (30.4±16.3 mm) であった。

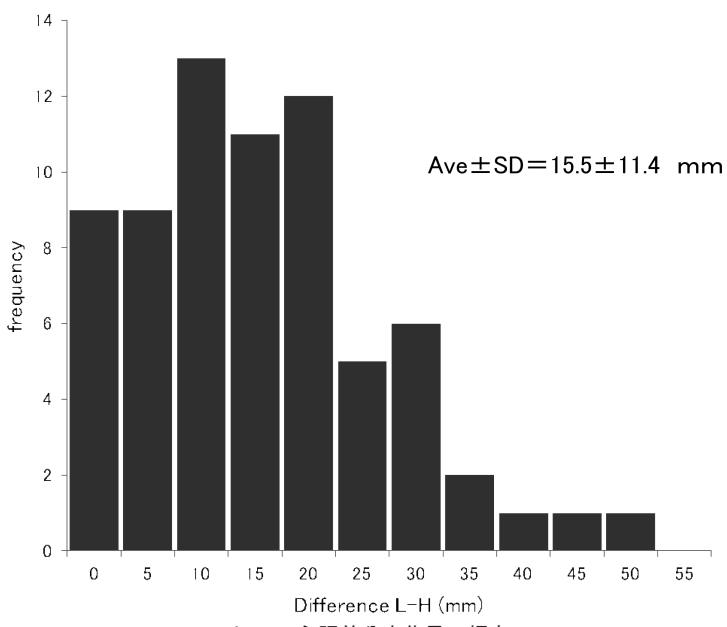


Fig. 4 心肝差分変化量の頻度 **BrST** 法と **FB** 法の心肝差分変化量は, **15**.5±**11**.4 **mm** であった。

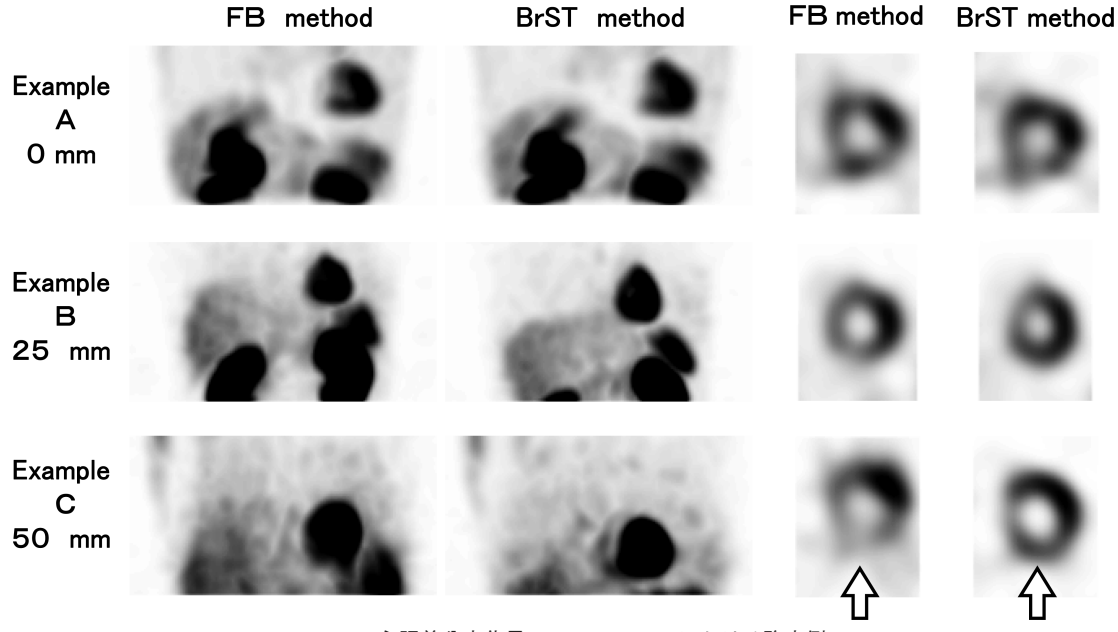
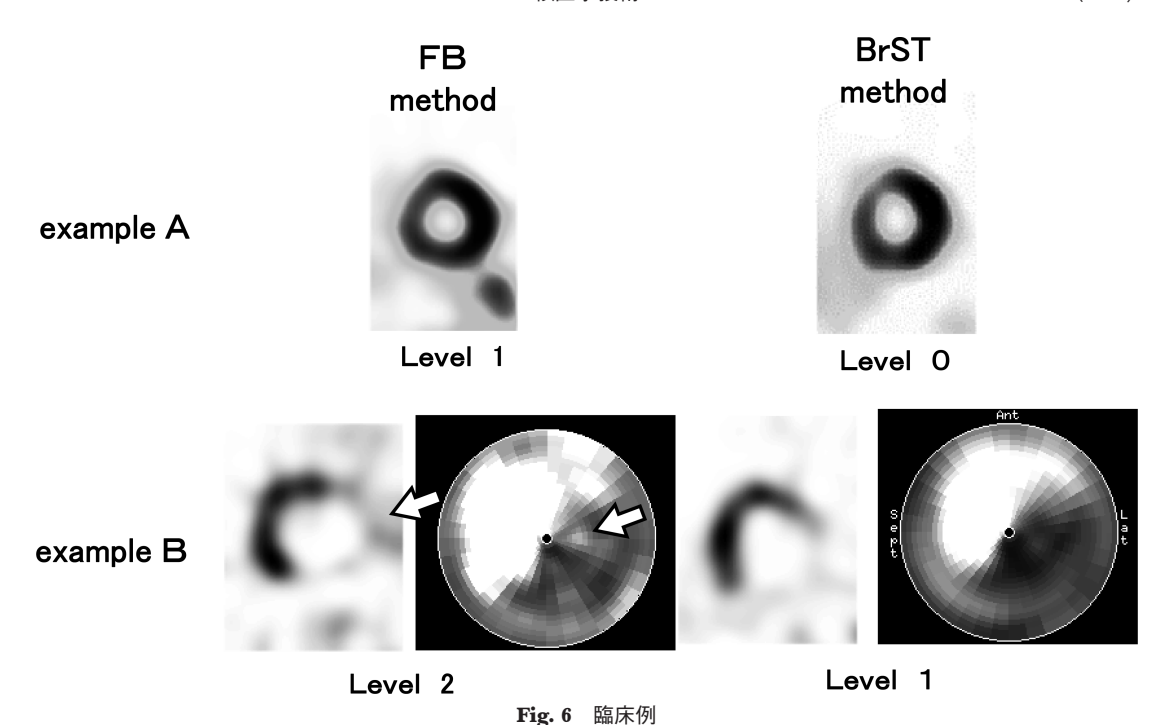


Fig. 5 心肝差分変化量 0, 25, 50 mmにおける臨床例 心肝差分変化量が 0 mm, 25 mm, 50 mm の症例を示す。心肝差分変化量が大きくなるほど, FB 法の心臓と肝臓のオーバーラップが多くなる。その結果50 mm では, 矢印で示すように, FB 法で不明瞭であった部分が BrST 法では明瞭となった。

ラム上 30 mm 以下に92.9%が分布している。

Fig. 5 に心肝差分変化量が 0 mm, 25 mm, 50 mm の症例を示す。心肝差分変化量が大きい 50

mm の症例の SA 像では、矢印に示す部分に FB 法で下壁の集積低下が BrST 法に比べ顕著に認められた。



症例A, Bとも BrST 法は FB 法と比較して他臓器との近接が改善されている。症例Bの polar map では、FB 法で白矢印に示す他臓器と考えられる集積が BrST 法では低下している。また FB 法の SA 像で認められた側下壁の不明瞭な集積低下が、BrST 法では明瞭になった。

Table 1 FB 法と BrST 法における Level 分類頻度 FB 法で21.4%が Level 2 であったが, BrST 法では Level 2 が 0 %になり、Level 0 が80%になった。

Level		0	1	2
FB method	number of cases	26	29	15
	percentage (%)	37.1	41.4	21.4
BrST method	number of cases	56	14	0
	percentage (%)	80.0	20.0	0

3-2 心筋と他臓器の近接の程度の比較

Fig. 6 に臨床例における同一スライス上の SA 像において上段に症例 A, 下段に症例 B の心筋画像を示す。症例 B では,他臓器との近接の程度を認めやすいように polar map も合わせて示す。症例 A は FB 法で Level 1, BrST 法で Level 0 であった。症例 B では FB 法で Level 2, BrST 法で Level 1 であった。 2 例とも BrST 法は FB 法と比較して,他臓器との近接の程度が改善されている。症例 B の polar map では,FB 法で白矢印に示す他臓器と考えられる集積が認められるが,BrST 法では認められなかった。また側壁や下壁の集積低下が FB 法では不明瞭であるが,BrST 法では明

瞭になった。

70症例について BrST 法と FB 法の各々の視覚による Level 分類を **Table 1** に示す。臨床結果の視覚的評価において FB 法では、Level 0 が26例 (37.1%)、Level 1 が29例 (41.4%)、Level 2 が15例 (21.4%)であった。一方 BrST 法では Level 0 が56例 (80.0%)、Level 1 が14例 (20.0%)、Level 2 が0例 (0%)であった。

4 考察

肺野は、呼吸運動において約1~4 cm の内部 位置移動がある。その移動は三次元的に複雑な動 きを示すが、頭尾方向に最大で、下肺野ほど大き いと報告されている⁵⁾。これは、下肺野と接する心臓においても、同様に呼吸の影響を受けることが予想され、安静心筋 SPECT 収集はこのような呼吸運動を含んだ画像となる。今回この影響がBrST 法により改善するかどうかを、心肝差分変化量および心筋と他臓器の近接の程度の比較にて評価を行った。

Fig. 3 に示す L-H は、肝臓上端と心筋下端の 距離を表わし、値が大きいほど心筋下端が肝臓上 端より下方に存在するオーバーラップが多くなる ことを意味する。BrST 法は FB 法に比べて、半 分程度の L-H になっている。心肝差分変化量を 示す Fig. 4 では 10~20 mm にピークがあり、30 mm 以下に65例 (92.9%) が存在している。L-H が大きい場合、プロジェクションデータにおいて 心筋と肝臓が重なって観察されるオーバーラップ の割合が多くなる。その結果, Fig. 5 に示す症例 Cのように心肝差分変化量が50 mm と大きい場 合、FB 法の SA 画像のように心筋下壁の集積が 不明瞭だったものが、BrST 法では矢印で示すよ うに明瞭になっている。これはFB法ではL-Hが 大きいので、心筋と肝臓のオーバーラップが多 く、再構成時における肝臓による減弱の影響1,6) が関係していると考えられる。逆に BrST 法では L-H が小さくなることから、オーバーラップの割 合が少なくなる。その結果、減弱の影響の改善を 期待できると考えられる。

また、^{99m}Tc 製剤を使用し、肝内胆管の高集積が存在した場合でも、FB 法と比較して BrST 法では、LH が小さくなることから、SPECT 撮像時のプロジェクション画像での心筋と高集積の近接が回避でき、ストリークアーチファクトによる画質の低下の改善が期待できる。

次に、心筋と他臓器の近接の程度の比較について考察する。Fig. 6 に示す example B の FB 法は、心筋欠損部分近傍に周囲臓器と考えられる集積があるために Level 2であった。これは呼吸移動により周辺臓器との近接が生じ欠損部のカウントが上昇する。このため、SA 画像上ではオーバーシュートの影響⁶⁾ が認められ、側壁や下壁の集積低下部位の描出が不明瞭であったと考えられる。また、polar map 上でも同様の現象が認められる。しかし、BrST 法では polar map 上の多臓

器からの近接が生じないので、SA 画像でのオーバーシュートの影響⁶⁾ が認められなくなっており、側壁や下壁の集積低下部位も明瞭に描出されている。これらに加えこの現象は、呼吸による心筋の移動により心筋カウントが分散されるモーションアーチファクトの影響が考えられる。よって BrST 法では、呼吸によるモーションアーチファクトの低減にも有用ではないかと考えられる。

また、Table 1 に示す通り FB 法において、6 割以上の症例で心筋集積と心筋の周囲臓器との近接が認められたが、BrST 法では2 割程度しか認められなかった。さらに FB 法で2割以上に認められなかった。さらに FB 法で2割以上に認められた心筋と心筋の周囲臓器が近接している状態の Level 2 が、BrST 法では全く認められなくなった。これは深吸気で停止しているため、呼吸による横隔膜の下降に伴い周囲臓器の下降が生じ心筋との分離によるものと考えられる。このことより、臨床上問題となる周辺他臓器からの影響を低減する可能性を示唆された。

今回の検討では、 201 Tl を用いて行ったが、 99m Tc 製剤による心筋血流 SPECT では、 201 Tl より肝臓集積が高く腸管への排泄を行うため、より他臓器からの影響を受ける可能性があり $^{7\sim11)}$ 、これらを解決する手法として BrST 法は有用であると考えられる。

5 結語

- 1) BrST 法により、プロジェクションデータ上で心筋と肝臓のオーバーラップが少なくなり、肝臓からの減弱の影響を低減及びストリークアーチファクトの回避が可能となる。
- 2) BrST 法により、心筋と他臓器との近接が改善し、モーションアーチファクトの抑制によりボケの影響を低減できる。
- 3)以上より BrST 法は、アーチファクトの低減 に効果的であり心筋血流 SPECT に有用であるこ とが示された。

謝辞

本論文の作成にあたりご協力いただいた,日本 メジフィジックス社の仁井田秀治氏,高山正弘氏 に感謝いたします。

引用文献

- 1) 日本核医学技術学会編:核医学技術総論:207-209, 山代印刷株式会社出版部,2008
- 2) 河合崇史, 堀内承治, 林万寿夫, 他: 体幹部領域 における深吸気時停止 SPECT 法の有用性に関す る研究—分解能の向上に関する検討—. 日放技学 誌. **61**(8): 1144-1150, 2005
- 3) 出口千尋, 林万寿夫, 芦田健二, 他: 体幹部領域 における深吸気時停止 SPECT 法の有用性に関す る研究. 核医学技術, **25**: 169-176, 2005
- 4) Komori T, Narabayashi I, Hayashi M, et al: Evaluation of breath-hold 201Tl SPECT in the differential diagnosis of solitary pulmonary nodules. Annals of Nuclear medicine, 19(4): 277-281, 2005
- 5) Onishi H, Kuriyama K, omiyama T, et al: CT evaluation of patient deep inspiration self-breath-holding: how precisely of respiratory monitoring devices? Med Phy, 30(6): 1183–1187, 2003
- 6) Germano G, Chua T, Kiat H, et al: A quantitative phantom analysis of artifacts due to hepatic activity in

- technetium-99m myocardial SPECT perfusion studies. J Nucl Med, 35(2): 356–359, 1994
- 7) 今井嘉門, 浅川喜祐, 星野寛倫, 他: MIBI 心筋 シンチのアーチファクトの原因に関して. 核医 学, **32**: 307-310, 1995
- 8) 大西英雄, 増田一孝, 高田政彦, 他: ^{99m}Tc 標識 心筋血流製剤を用いた心筋 SPECT 画像への肝臓 からの影響. 核医学, **35**: 375-383, 1998
- 9) 高木昭浩, 岡田和弘, 浦田譲治, 他: ^{99m}Tc 心筋 血流製剤を用いた SPECT 撮像における肝の高集 積が心筋に及ぼす影響の軽減;マスク処理法の有 用性と問題点. 核医学, **36**: 459-465, 1999
- 10) 西尾剛, 遠藤健一, 田邊芳雄, 他: 心筋 SPECT に対する OS-EM 法の適用―心臓肝臓ファントム を用いたアーチファクト軽減効果の検討―. 日本 放射線技術学会雑誌, **58**: 1061-1065, 2002
- 11) 若林康治, 諸澄邦彦, 柴崎匡樹, 他:アデノシン 負荷 ^{99m}Tc-tetrofosmin 心筋 SPECT の周辺臓器集 積から推測する至適撮像開始時間の検討. 日本放 射線技術学会雑誌, **64**:57-64, 2007